

CONSEIL INTERNATIONAL POUR L'EXPLORATION DE LA MER

Zooplancton.

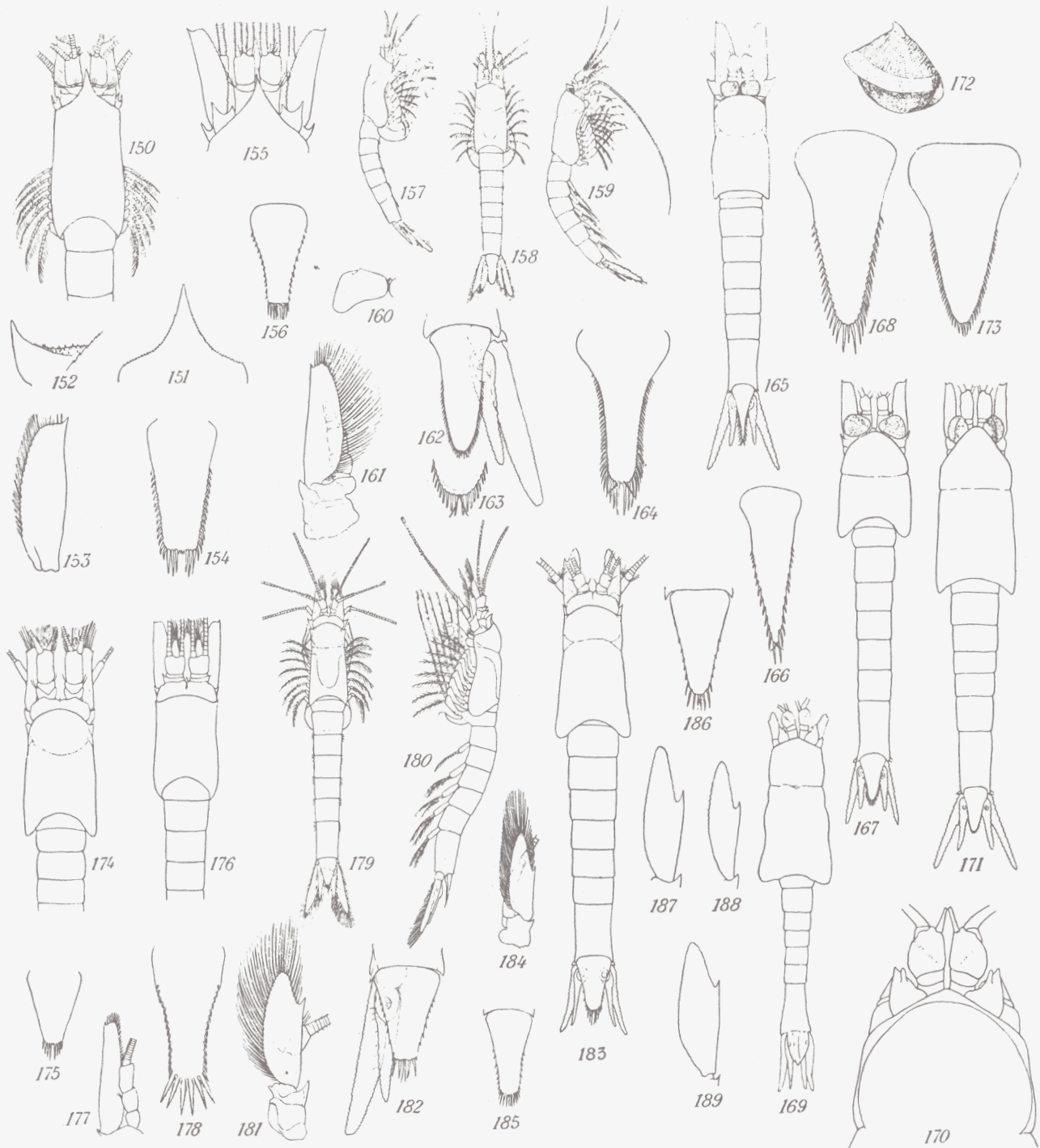
Fiche 22.

**MYSIDACEA**

**Fam. Mysidae** (suite 3): **mysinae** (suite 1):  
**Erythropini** (suite 1).

(Par H. Nouvel)

**1950.**



(D'après divers auteurs. — Echelles différentes).

Fig. 150—154. *Paramblyops rostrata*: 150, ♂, partie antérieure, vue dorsale; 151, partie antérieure de la carapace, vue dorsale; 152, œil, vue dorsale; 153, écaille antennaire; 154, telson.

Fig. 155—156. *Paramblyops bidigitata*: 155, partie antérieure, vue dorsale; 156, telson.

Fig. 157—163. *Amblyops abbreviata*: 157, ♀, vue latérale; 158, ♀, vue dorsale; 159, ♂, vue latérale; 160, œil, vue dorsale; 161, base de l'antenne; 162, telson et uropode droit; 163, extrémité du telson.

Fig. 164. *Amblyops kempfi*, telson.

Fam. MYSIDAE Dana (suite 3)

Sous-fam. MYSINAE Hansen (suite 1)

Tribu Erythropini Hansen (suite 1)

Genre PARAMBLYOPS Holt & Tattersall

38. *P. rostrata* Holt & Tattersall 1905. — (Fig. 150—154). — Bord antérieur de la carapace finement denté. Les plaques oculaires n'ont qu'une seule pointe au coin externe. — Holt & Tattersall, 1905a, pl. XXI. Zimmer, 1909, fig. 232—234. Hansen, 1927, pl. 1, fig. 7a—7c.
39. *P. bidigitata* Tattersall 1911. — (Fig. 155—156). — Bord antérieur de la carapace non denté. L'œil forme 2 pointes antérieures, l'une interne, l'autre externe. — Tattersall, 1911b, pl. VIII, fig. 2—4.

Genre AMBLYOPS G. O. Sars

40. *A. kempfi* (Holt & Tattersall 1905). — (Fig. 164). — Telson linguiforme, les épines distales aussi longues que la largeur du telson vers son tiers distal. — Holt & Tattersall, 1906b, (*Pseudomma kempfi*) pl. IV, fig. 6—10. Zimmer, 1909, (*Ps. kempfi*) fig. 214—216.
41. *A. abbreviata* (M. Sars 1869). — (Fig. 157—163). — Telson linguiforme, les épines distales beaucoup plus courtes que chez

l'espèce précédente. — G. O. Sars, 1872, pl. IV. Zimmer, 1909, fig. 223—228. 1933, fig. 39—72.

42. *A. tenuicauda* Tattersall 1911. — (Fig. 165—166). — Telson triangulaire. Les yeux portent un petit processus dorsal du côté interne. — Tattersall, 1911b, pl. II, fig. 2; pl. VI, fig. 2—8.

Genre DACTYLAMBLYOPS Holt & Tattersall

43. *D. goniops* Tattersall 1907. — (Fig. 167—168). — La longueur médiane de la carapace est inférieure à la longeur totale des 3 premiers pléonites. A l'extrémité du telson, une épine plus courte entre 2 épines plus longues. — Tattersall, 1911b, pl. II, fig. 1; pl. V, fig. 9—17; pl. VI, fig. 1.
44. *D. sarsi* (Ohlin 1901). — (Fig. 169—170). — Carapace presque aussi longue que l'ensemble des 6 pléonites. Yeux pointus

en avant. Telson inerme? — Ohlin, 1901, (*Amblyops sarsi*) fig. 4. Zimmer, 1909, fig. 235—236.

45. *D. thomatops* Tattersall 1907. — (Fig. 171—173). — Carapace un peu plus longue que l'ensemble des 5 premiers pléonites. Plaque frontale en ogive émoussée. Les 2 épines distales du telson, d'égale longueur, non séparées par une épine plus courte. — Tattersall, 1911b, pl. 1, fig. 1; pl. V, fig. 1—8.

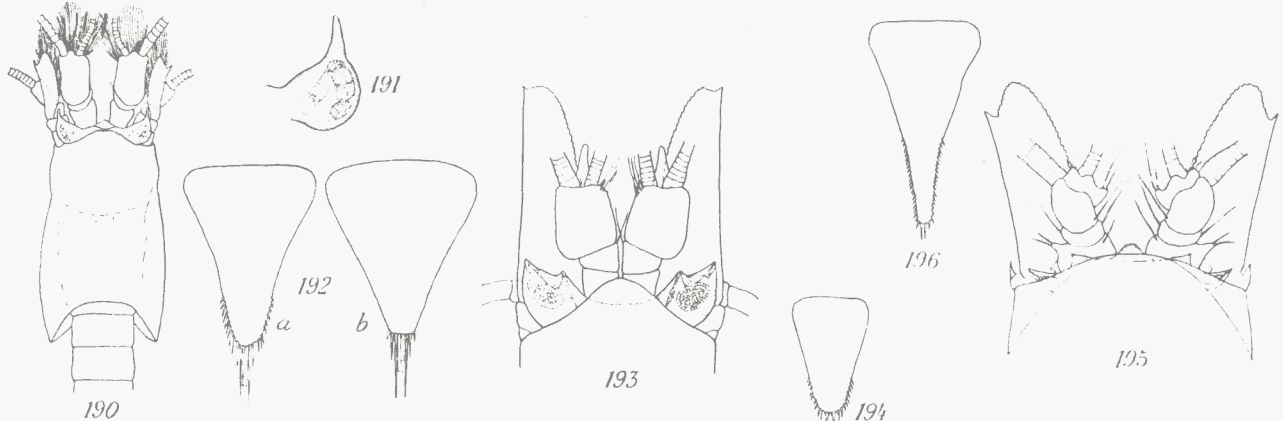


Fig. 165—166. *Amblyops tenuicauda*: 165, vue dorsale; 166, telson.  
Fig. 167—168. *Dactylamblyops goniops*: 167, vue dorsale; 168, telson.

Fig. 169—170. *Dactylamblyops sarsi*: 169, vue dorsale; 170, partie antérieure, vue dorsale.

Fig. 171—173. *Dactylamblyops thomatops*: 171, ♀, vue dorsale; 172, œil, vue latérale; 173, telson.

Fig. 174—175. *Pseudomma nanum*: 174, partie antérieure, vue dorsale; 175, telson.

Fig. 176—178. *Pseudomma calloplura*: 176, partie antérieure, vue dorsale; 177, base de l'antenne; 178, telson.

Fig. 179—182. *Pseudomma truncatum*: 179, ♀, vue dorsale; 180, ♂, vue latérale; 181, base de l'antenne; 182, telson et uropode gauche.

Fig. 183—185. *Pseudomma affine*: 183, ♀, vue dorsale; 184, base de l'antenne; 185, telson.

Fig. 186—188. *Pseudomma roseum*: 186, telson; 187, ♀, écaille antennaire; 188, ♂, écaille antennaire.

Fig. 189. *Pseudomma frigidum*: ♀, écaille antennaire.

Fig. 190—192. *Dactylerythrops dactylops*: 190, ♀, partie antérieure, vue dorsale; 191, œil, vue dorsale; 192, telson; a, variété d'eau peu profonde, b, variété d'eau profonde.

Fig. 193—194. *Dactylerythrops bidigitata*: 193, partie antérieure, vue dorsale; 194, telson.

Fig. 195—196. *Dactylerythrops gracilura*: 195, partie antérieure, vue dorsale; 196, telson.

### Genre DACTYLERYTHROPS Holt & Tattersall

46. *D. dactylops* Holt & Tattersall 1905. — (Fig. 190—192).  
— L'écaillle antennaire ne dépasse guère l'extrémité distale du pédoncule antennulaire. — Holt & Tattersall, 1905a, pl. XXII. Zimmer, 1909, fig. 192—193. Tattersall, 1911b, pl. VII, fig. 8 et 9.
47. *D. bidigitata* Tattersall 1907. — (Fig. 193—194). — L'écaillle antennaire dépasse très largement l'extrémité distale du pédoncule antennulaire; son lobe distal ne dépasse pas l'épine du bord externe. Yeux bien visibles. — Tattersall, 1911b, pl. III, fig. 7—10, pl. IV, fig. 1.
48. *D. gracilura* Tattersall 1907. — (Fig. 195—196). — Ecaille antennaire beaucoup plus longue que le pédoncule antennulaire avec un lobe distal dépassant largement l'épine distale du bord externe. Yeux peu visibles. — Tattersall, 1911b, pl. III, fig. 11; pl. IV, fig. 2—4.

### Genre PSEUDOMMA G. O. Sars

Clé de détermination des espèces considérées :

- |   |   |
|---|---|
| I. Le lobe distal de l'écaillle antennaire ne dépasse pas ou dépasse à peine la pointe de l'épine distale du bord externe .....   | II  |
| Le lobe distal dépasse considérablement cette épine .....   | III   |
| II. Le telson n'a pas d'épines latérales .....  | <i>nanum</i>  |
| Le telson possède des épines le long des 3/4 distaux de ses bords latéraux .....  | <i>calloplura</i>   |
| III. Telson nettement tronqué. La troncature porte 4 épines distales nettement plus longues que les latérales .....   | <i>truncatum</i>  |
| Telson arrondi à l'extrémité. Pas de distinction marquée entre épines latérales et distales .....   | IV  |
| IV. La partie distale arrondie du telson porte plusieurs paires d'épines de longueur décroissante vers les côtés .....  | <i>affine</i>   |
| La partie arrondie du telson porte deux paires d'épines égales nettement plus longues que les suivantes .....   | V   |
| V. La longueur du lobe distal de l'écaillle antennaire est très nettement supérieure à la largeur de cette écaille .....  | <i>roseum</i>   |
| La longueur du lobe distal est à peu près égale à la largeur de l'écaillle .....  | <i>frigidum</i>   |
| 49. <i>Ps. nanum</i> Holt & Tattersall 1906. — (Fig. 174—175). — Holt & Tattersall, 1906b, pl. III, fig. 7—10. Zimmer, 1909, fig. 217—219.                                    | 52. <i>Ps. affine</i> G. O. Sars 1869. — (Fig. 183—185). — G. O. Sars, 1870, pl. V, fig. 13—22. Holt & Tattersall, 1906b, pl. III, fig. 1—6. Zimmer, 1909, fig. 200—203. 1933, fig. 42. |
| 50. <i>Ps. calloplura</i> Holt & Tattersall 1905. — (Fig. 176—178). — Holt & Tattersall, 1906b, fig. 1; pl. IV, fig. 1—5. Zimmer, 1909, fig. 211—213. Bacesco, 1941b, fig. 7. | 53. <i>Ps. roseum</i> G. O. Sars 1869. — (Fig. 186—188). — G. O. Sars, 1870, pl. IV. Hansen, 1908b, fig. 2a—2b. Zimmer, 1909, fig. 194—197. 1933, fig. 40—41.                           |
| 51. <i>Ps. truncatum</i> Smith 1879. — (Fig. 179—182). — Smith, 1879, pl. XII, fig. 3—4. G. O. Sars, 1879, pl. XI. Zimmer, 1909, fig. 204—207.                                | 54. <i>Ps. frigidum</i> Hansen 1908. — (Fig. 189). — Hansen, 1908b, pl. V, fig. 3a—3b. Zimmer, 1909, fig. 198—199.  |

### Distribution

(voir fiche 23)

### Références.

- Holt, E. W. L. & Tattersall, W. M. 1906b. Fisheries, Ireland, Sci. Invest., 1904, V, pp. 1—50, pl. I—V.  
Ohlin, A. 1901. K. Svenska Vet.-Akad. Handl., Bd. 27, Afd. IV, no. 8, 92 pp., 3 pl.
- Sars, G. O. 1872. Monografi over de ved Norges Kyst forekommende Mysider, II, 34 pp., pl. VI—VIII.  
Tattersall, W. M. 1911b. Fisheries, Ireland, Sci. Invest., 1910, II, pp. 1—77, pl. I—VIII.

Autres références: voir fiches 19, 20 et 21.